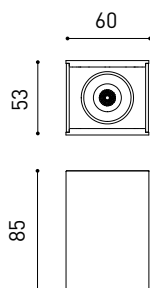




GRÖßE



PREISE



| | |
|---------------|------------------------------|
| Name | BLACK FOSTER SURF 1 2700K WT |
| Artikelnummer | A3201010WT |
| Farbe | Weiß strukturiert |
| RAL | 9016 |
| Kategorie | SURFACE |

PRODUKT

BLACK FOSTER SURF 1 2700K WT

A3201010WT

Weiß strukturiert

9016

SURFACE

LICHTINFORMATIONEN

| | |
|--|---------------------------|
| Lichtquelle | LED |
| Bruttolichtstrom | 190 Lm |
| Leistung | 2,1 W |
| Leistungswerte des Systems | 3,00 W |
| Farbtemperatur | 2700 K |
| Farbwiedergabeindex | CRI>90 |
| Farbstabilität | Mac Adam Step 3 |
| Abstrahlwinkel | 38° |
| Blendungsbewertung | UGR<19 |
| Leuchtenwirkungsgrad (LOR) | 90% |
| Lichtausbeute | 90 Lm/W |
| Stromstärke | 700 mA |
| Steuerung über Bluetooth | Bitte anfragen |
| Vorschaltgerät | Inklusiv |
| Schutzklasse | <input type="checkbox"/> |
| Spannung | 220 V/240 V |
| Frequenz | 50/60 Hz |
| Energieeffizienzklasse | A++ |
| Nutzlebensdauer der LED in Betriebsstunden | L80B10 (Tc=85°C) >60.000h |

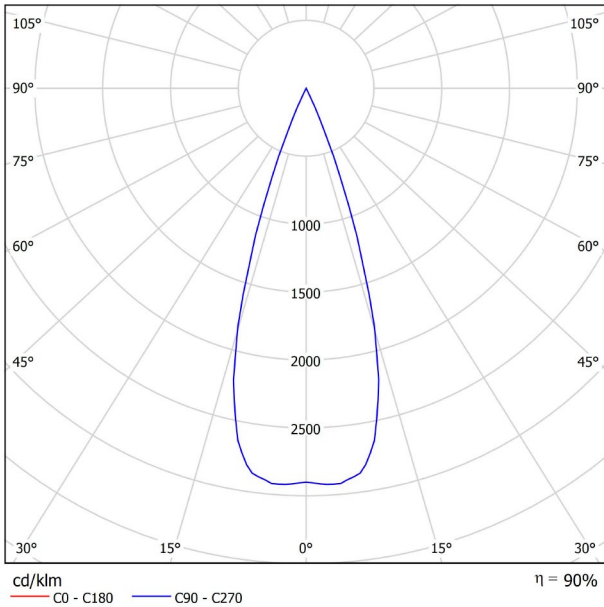
ANDERE DATEN

| | |
|----------------------------|--|
| Dichtigkeit | IP20 |
| Gewicht | 260 g. |
| Gewicht inkl. Verpackung | 310 g. |
| Abmessungen der Verpackung | 254 × 93 × 70 mm. |
| Stück pro Verpackung | 1 |
| Materialien | Aluminium / Acrylnitril-Butadien-Styrol / Polycarbonat |

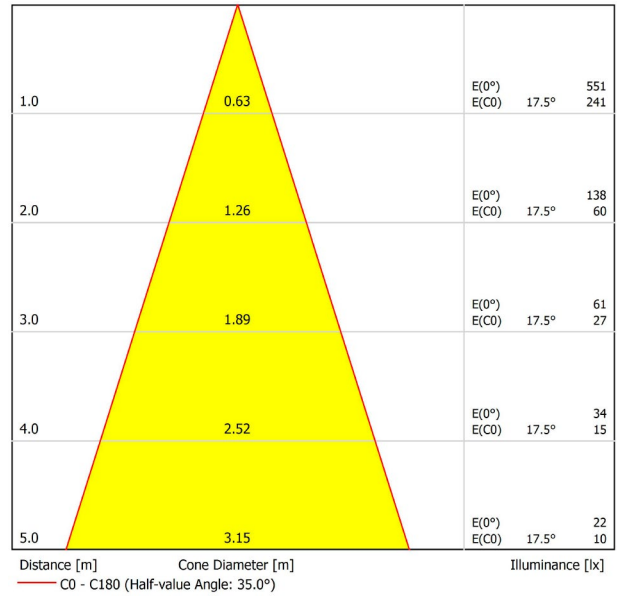


Black Foster Surface ist eine Leuchten Serie die den hoch gelobten "The Invisible Black" -Effekt zu einem linearen Aufbau-Strahler System bringt. Black Foster ist dank seiner geringen Größe und seiner geringen Blendung das perfekte Lichtsystem für zurückhaltende Innenarchitektur.

POLAR-KOORDINATEN DIAGRAMM



KEGELDIAGRAMM



UGR

| Glare Evaluation According to UGR | | | | | | | | | | | |
|--|------------|---|------|------|------|------------|--|------|------|------|------|
| ρ Ceiling | 70 | 70 | 50 | 50 | 30 | 70 | 70 | 50 | 50 | 30 | 30 |
| ρ Walls | 50 | 30 | 50 | 30 | 30 | 50 | 30 | 50 | 30 | 30 | 20 |
| ρ Floor | 20 | 20 | 20 | 20 | 20 | 20 | 20 | 20 | 20 | 20 | 20 |
| Room Size X Y | | Viewing direction at right angles to lamp axis | | | | | Viewing direction parallel to lamp axis | | | | |
| 2H | 2H | -6.7 | -6.1 | -6.4 | -5.9 | -5.7 | -6.7 | -6.1 | -6.4 | -5.9 | -5.7 |
| | 3H | -6.8 | -6.2 | -6.5 | -6.0 | -5.8 | -6.8 | -6.2 | -6.5 | -6.0 | -5.8 |
| | 4H | -6.9 | -6.4 | -6.6 | -6.1 | -5.8 | -6.9 | -6.4 | -6.6 | -6.1 | -5.8 |
| | 6H | -7.0 | -6.5 | -6.6 | -6.2 | -5.9 | -7.0 | -6.5 | -6.6 | -6.2 | -5.9 |
| | 8H | -7.0 | -6.5 | -6.7 | -6.2 | -5.9 | -7.0 | -6.5 | -6.7 | -6.2 | -5.9 |
| 4H | 12H | -7.0 | -6.6 | -6.7 | -6.3 | -6.0 | -7.0 | -6.6 | -6.7 | -6.3 | -6.0 |
| | 2H | -6.9 | -6.4 | -6.6 | -6.1 | -5.8 | -6.9 | -6.4 | -6.6 | -6.1 | -5.8 |
| | 3H | -7.0 | -6.6 | -6.7 | -6.3 | -6.0 | -7.0 | -6.6 | -6.7 | -6.3 | -6.0 |
| | 4H | -7.1 | -6.7 | -6.7 | -6.4 | -6.1 | -7.1 | -6.7 | -6.7 | -6.4 | -6.1 |
| | 6H | -7.2 | -6.9 | -6.8 | -6.5 | -6.1 | -7.2 | -6.9 | -6.8 | -6.5 | -6.1 |
| 8H | 8H | -7.2 | -6.9 | -6.8 | -6.6 | -6.2 | -7.2 | -6.9 | -6.8 | -6.6 | -6.2 |
| | 12H | -7.3 | -7.0 | -6.8 | -6.6 | -6.2 | -7.3 | -7.0 | -6.8 | -6.6 | -6.2 |
| | 4H | -7.2 | -6.9 | -6.8 | -6.6 | -6.2 | -7.2 | -6.9 | -6.8 | -6.6 | -6.2 |
| | 6H | -7.3 | -7.1 | -6.9 | -6.7 | -6.2 | -7.3 | -7.1 | -6.9 | -6.7 | -6.2 |
| | 8H | -7.4 | -7.2 | -6.9 | -6.8 | -6.3 | -7.4 | -7.2 | -6.9 | -6.8 | -6.3 |
| 12H | 12H | -7.4 | -7.3 | -6.9 | -6.8 | -6.3 | -7.4 | -7.3 | -6.9 | -6.8 | -6.3 |
| | 4H | -7.3 | -7.0 | -6.8 | -6.6 | -6.2 | -7.3 | -7.0 | -6.8 | -6.6 | -6.2 |
| | 6H | -7.4 | -7.2 | -6.9 | -6.8 | -6.3 | -7.4 | -7.2 | -6.9 | -6.8 | -6.3 |
| 8H | -7.4 | -7.3 | -6.9 | -6.8 | -6.3 | -7.4 | -7.3 | -6.9 | -6.8 | -6.3 | |
| Variation of the observer position for the luminaire distances S | | | | | | | | | | | |
| S = 1.0H | +0.0 / 0.0 | | | | | +0.0 / 0.0 | | | | | |
| S = 1.5H | +0.0 / 0.0 | | | | | +0.0 / 0.0 | | | | | |
| S = 2.0H | +0.0 / 0.0 | | | | | +0.0 / 0.0 | | | | | |
| Standard table | BK00 | | | | | BK00 | | | | | |
| Correction Summand | -20.0 | | | | | -20.0 | | | | | |
| Corrected Glare Indices referring to 190lm Total Luminous Flux | | | | | | | | | | | |